

جمهورية العراق
الجامعة المستنصرية
كلية العلوم

إيجاد تراخيص اليورانيوم المنضب في نماذج بايولوجية

رسالة تقدم بها
وصفي محمد كاظم التميمي
الى مجلس كلية العلوم - الجامعة المستنصرية وهي جزء من متطلبات
نيل درجة الماجستير علوم في الفيزياء

إشراف

د. عبد الله احمد رشيد
الدليمي



د. شاكر محمود مربط
الجبوري

2003 م

1424 هـ

توصية الأساتذة المشرفين


نشهد ان إعداد هذه الأطروحة من الطالب 'وصفي محمد كاظم التميمي' قد جرى تحت إشرافنا في الجامعة المستنصرية / كلية العلوم / قسم الفيزياء وهي جزء من متطلبات نيل درجة الماجستير في الفيزياء

أسم المشرف : د. شاكر محمود الجبوري أسم المشرف : د. عبدالله احمد رشيد الدليمي
الدرجة العلمية : أستاذ الدرجة العلمية : أستاذ مساعد
التوقيع :  التوقيع : 
التاريخ : 2003 / ٨ / ١٩ التاريخ : 2003 / ١٥ / ١٩

توصية السيد رئيس قسم الفيزياء

إشارة الى التوصية المقدمة من قبل

الدكتور شاكر محمود الجبوري والدكتور عبدالله احمد رشيد الدليمي
أحيل هذه الرسالة الى لجنة المناقشة بدراستها وبيان السراي فيها

الاسم : د . كاظم حسن الموسوي
الدرجة العلمية : مدرس
التوقيع : 
التاريخ : 2003 / 1٥ / 1٩

بِسْمِ اللّٰهِ الرَّحْمٰنِ الرَّحِیْمِ

یرفع اللّٰهُ الذّٰلِیْنَ آمَنُوا مِنْكُمْ وَالذّٰلِیْنَ
أَتَوْا الْعِلْمَ دَرَجَاتٍ وَاللّٰهُ بِمَا تَعْمَلُونَ خَبِیْرٌ .

صدق الله العلي العظيم

سورة المجادلة / الآية ١١

توصية الأساتذة المشرفين

نشهد أن إعداد هذه الأطروحة من الطالب 'وصفي محمد كاظم التميمي' قد جرى تحت إشرافنا في الجامعة المستنصرية / كلية العلوم / قسم الفيزياء وهي جزء من متطلبات نيل درجة الماجستير في الفيزياء

أسم المشرف : د. شاكر محمود الجبوري	أسم المشرف : د. عبدالله احمد رشيد الدليمي
الدرجة العلمية : أستاذ	الدرجة العلمية : أستاذ مساعد
التوقيع :	التوقيع :
التاريخ : / / 2003	التاريخ : / / 2003

توصية السيد رئيس قسم الفيزياء

إشارة إلى التوصية المقدمة من قبل

الدكتور شاكر محمود الجبوري والدكتور عبدالله احمد رشيد الدليمي
أحيل هذه الرسالة الى لجنة المناقشة لدراستها وبيان الرأي فيها

الاسم : د . كاظم حسن الموسوي
الدرجة العلمية : مدرس
التوقيع :
التاريخ : / / 2003

قرار لجنة المناقشة

نحن أعضاء لجنة المناقشة الموقعين أدناه نشهد بأننا أطلعنا على الرسالة الموسومة
(إيجاد تراكيز اليورانيوم المنضب في الأذخ بايولوجية)
المقدمة من قبل الطالب (وصفي محمد كاظم محمد) فوجدنا أنها جديرة بالقبول
لنيل درجة الماجستير علوم في الفيزياء .

رئيس اللجنة

الاسم : د. عذاب طاهر الكنتاني

الدرجة العلمية : أستاذ

التوقيع :

التاريخ :

عضو اللجنة

الاسم : د. خالد عبدالوهاب

الدرجة العلمية :

التوقيع :

التاريخ : / / 2003

عضو اللجنة

الاسم : د. حامد معدي الباهلي

الدرجة العلمية : أستاذ

التوقيع :

التاريخ : / / 2003

عضو اللجنة : المشرف

الاسم : د. عبدالله احمد رشيد الدليمي

الدرجة العلمية : أستاذ مساعد

التوقيع :

التاريخ : / / 2003

عضو اللجنة : المشرف

الاسم : د. شاكر محمود مريبط الجبوري

الدرجة العلمية : أستاذ

التوقيع :

التاريخ : / / 2003

مصادقة عمادة كلية العلوم

الاسم :

التوقيع :

التاريخ : / / 2003

شكر وتقدير

الحمد لله الاول قبل كل شيء والاخر بعد كل شيء لا ينسى من ذكره ولا ينقص من شكره والصلاة والسلام على خير خلق الله اجمعين محمد (ص) واله الطيبين الطاهرين وبعد . وأنا أنهى هذا البحث لا يسعني إلا أن أتقدم بجزيل الشكر والامتنان إلى أستاذي الدكتور شاكر محمود الجبوري والدكتور عبدالله احمد الدليمي لاقتراحهما موضوع البحث وإشرافهما على مراحل البحث وكان لتوجيهاتهما القيمة ومتابعتهما الجادة والمتواصلة الأثر الكبير في انجاز هذا البحث كما اتقدم بالشكر الجزيل والامتنان إلى عمادة كلية العلوم / الجامعة المستنصرية ممثلة بعمادتها واشكر الاستاذ الدكتور هاشم حميد الدليمي رئيس قسم الفيزياء سابقاً بكلية العلوم وما بذله من جهود في هذا القسم وفي الدراسات العليا والتي رئيس القسم الحالي الدكتور كاظم حسن الموسوي كما اود ان أشكر اعضاء الهيئة التدريسية في قسم الفيزياء / كلية العلوم وطلاب الدراسات العليا وذلك لتقديمهم يد العون والمساعدة كما اتقدم بالشكر والتقدير الى قسم التطبيقات النووية في منظمة الطاقة الذرية ومنهم (رعد ، بسام ، طاهر ، افراح) وأشكر كذلك (عباس ، مرتضى ، ماجد) لما قدموا لي من خدمات وأدعوا الله ان يوفق الجميع لما فيه الخير والصلاح .

والحمد لله رب العالمين

وصفي محمد كاظم

الخلاصة

تضمنت هذه الدراسة إيجاد تراكيز اليورانيوم المنضب في دم والتسجعة بشرية وباستخدام كاشف الاثر النووي للكسان وتقنية اثار الاشطار النووي الناتجة من انشطار نظير اليورانيوم ²³⁸ بالنيوترونات السريعة المنبعثة من المصدر النيوتروني النظائري ²⁴¹Am-Be بسيل نيوتروني قدرته (1.9×10^{11} n/cm²) والمسجلة على كاشف الاثر النووي متعدد الكاربون للكسان Laxan .

في بداية البحث تم تحديد المنطقة الفعالة على المصدر والتي يبلغ عندها الفيض النيوتروني اقصى قيمة له وتم إيقاف النيوترونات الحرارية بطبقة من الكاديوم بعد اختيار السمك المناسب حيث بلغ (0.5mm) .

ثم بعد ذلك تم اختيار عيارية (6.25N) من Na oH وفي درجة (60C⁰) وزمن قشط (70min) وكانت هذه الظروف المثالية للقشط ثم بعد ذلك تم تحديد السيل النيوتروني المناسب للتشعيع والذي استخدم لتشعيع النماذج القياسية وعينات التسجعة والدم المستخدمة في البحث واجريت معالجة التداخلات للمواد الاشطارية الموجودة في النماذج القياسية بتراكيز معينة وكذلك الخلفية الاشعاعية الموجودة في العينات حيث كانت تراكيز اليورانيوم المنضب في نماذج الدم في الحدود (0.041-0.063) ppm والتسجعة في حدود (0.039 - 0.041) ppm .

المحتويات

رقم الصفحة	الموضوع	ت
X	قائمة الجداول	
XI	قائمة الأشكال	

الفصل الاول - مقدمة عامة

رقم الصفحة	الموضوع	ت
1	التمهيد	1-1
1	اليورانيوم المنضب	2-1
5	غبار الهواء الجوي لليورانيوم المنضب	3-1
7	مكونات الدم	4-1
8	كريات الدم البيضاء	1-4-1
8	الصفائح الدموية	2-4-1
9	كريات الدم الحمراء	3-4-1
10	مسارات دخول النويدات المشعة للجسم	5-1
12	التأثيرات الصحية لليورانيوم المنضب	6-1
13	التأثيرات البيولوجية للاشعاع	7-1
13	تأثيرات الاشعاع على الخلية الحية	1-7-1
15	تصنيف امراض الاشعاع	2-7-1
17	الدراسات السابقة	8-1
20	الهدف من الدراسة	9-1

الفصل الثاني - الجانب النظري

رقم الصفحة	الموضوع	ت
21	النيوترون وخصائصه	1-2
22	اكتشاف النيوترون	2-2
22	تصنيف النيوترونات	3-2
23	تفاعلات النيوترونات مع المادة	4-2
27	المصادر النيوترونية	5-2
27	المفاعل النووي	1-5-2
28	مصادر الاشطار الثقلي	2-5-2

رقم الصفحة	الموضوع	ت
29	المصادر النيوترونية النظائرية	3-5-2
32	المعجلات والمولدات	4-5-2
33	المقاطع العرضية للنيوترونات	6-2
34	كواشف الاثر النووي للحالة الصلبة	7-2
34	نبذة تاريخية	1-7-2
35	تعريف كواشف الاثر النووي للحالة الصلبة	2-7-2
36	تصنيف كواشف النووي للحالة الصلبة	8-2
36	الكواشف الغير العضوية	1-8-2
36	الكواشف العضوية	2-8-2
38	طاقة العتبة للاثر	9-2
39	خصائص كواشف الاثر النووية للحالة الصلبة	10-2
40	مراحل تكون الضرر في المواد الصلبة العازلة	11-2
41	ميكانيكية تكون الاثر المستتر للمواد الصلبة العازلة	12-2
45	القشط الكيميائي	13-2
46	هندسة الاثر	14-2
49	مراحل نمو الاثر	15-2
50	كفاءة الكاشف لتسجيل الاثر	16-2
50	التأثيرات البيئية على القشط للاثر	17-2

الفصل الثالث - الجانب العملي

رقم الصفحة	الموضوع	ت
53	المقدمة	1-3
53	الاجهزة والمواد المستخدمة	2-3
53	المصدر النيوتروني النظائري $^{241}\text{Am} - \text{Be}$	1-2-3
53	الكاديوميوم	2-2-3
54	قرص اليورانيوم المنضب	3-2-3
54	كاشف الليكسان	4-2-3
54	الافران	5-2-3

رقم الصفحة	الموضوع	ت
54	المكبس	6-2-3
54	الحمام المائي	7-2-3
54	المجهر الضوئي	8-2-3
55	الاجراءات العملية	3-3
55	جمع وتحضير العينات	1-3-3
55	قياس الفيض النيوتروني	2-3-3
56	اختيار سمك طبقة الكاديوميوم	3-3-3
56	معرفة العلاقة بين كثافة الاثار والسييل النيوتروني	4-3-3
57	قياس تراكيز اليورانيوم المنضب	4-3
57	جمع وتحضير العينات	1-4-3
57	تحضير النماذج القياسية	2-4-3
57	تحضير قطع من كاشف الليكسان	3-4-3
58	قشط النماذج	4-4-3
58	عد الاثار	5-4-3
58	تداخلات المواد الانشطارية	6-4-3
59	حساب تراكيز اليورانيوم المنضب	7-4-3

الفصل الرابع - النتائج والمناقشة والاستنتاجات

رقم الصفحة	الموضوع	ت
61	دراسة توزيع فيض النيوترونات الرسيعة على طول المصدر $^{241}\text{Am} - \text{Be}$	1-4
61	قياس سمك طبقة الكاديوميوم	2-4
62	حساب الفيض النيوتروني السريع للمصدر النظائر $^{241}\text{Am} - \text{Be}$	3-4
63	تحديد العلاقة بين السيل النيوتروني وكثافة الاثار	4-4
73	تغير كثافة الاثار P والزمن المناسب للقشط مع ظروف القشط الكيميائي	5-4
81	تداخلات المواد الانشطارية	6-4
87	ايجاد تراكيز اليورانيوم المنضب في عينات الدم	7-4
91	الاستنتاجات	8-4
92	الدراسات المستقبلية	9-4
93	المصادر	

رقم الصفحة	عنوان الجدول	رقم الجدول
2	الفعالية الإشعاعية لليورانيوم الطبيعي والمنضب ومكوناتهما	1 - 1
3	سلسلة انحلال نظير اليورانيوم ^{238}U	2 - 1
15	امراض الإشعاع اعراضها واسبابها	3 - 1
29	مصادر (α, n) وعمر النصف والفيض النيوتروني والمتولد من كل تفاعل	1 - 2
32	مصادر (γ, n) وعمر النصف وطاقة كما لكل تفاعل	2 - 2
36	العلاقة بين تكوين الاثار والمقاومة النوعية للمادة	3 - 2
37	انواع الكواشف والجسيمات المؤينة وطاقاتها التي يمكن تحسسها	4 - 2
57	تركيز كل من اليورانيوم والثوريوم ومجموعهما في النماذج القياسية	1 - 3
62	البيانات النووية الخاصة لرقيفة الالمنيوم	1 - 4
64	علاقة كثافة الاثار بزمن القشط عند السيل النيوتروني $1.58 * 10^9 \text{ n} \cdot \text{cm}^{-2}$	2 - 4
64	علاقة كثافة الاثار بزمن القشط عند السيل النيوتروني $3.16 * 10^9 \text{ n} \cdot \text{cm}^{-2}$	3 - 4
66	علاقة كثافة الاثار بزمن القشط عند السيل النيوتروني $6.33 * 10^9 \text{ n} \cdot \text{cm}^{-2}$	4 - 4
66	علاقة كثافة الاثار بزمن القشط عند السيل النيوتروني $9.5 * 10^9 \text{ n} \cdot \text{cm}^{-2}$	5 - 4
68	علاقة كثافة الاثار بزمن القشط عند السيل النيوتروني $3.8 * 10^{10} \text{ n} \cdot \text{cm}^{-2}$	6 - 4
68	علاقة كثافة الاثار بزمن القشط عند السيل النيوتروني $7.6 * 10^{10} \text{ n} \cdot \text{cm}^{-2}$	7 - 4
70	علاقة كثافة الاثار بزمن القشط عند السيل النيوتروني $1.14 * 10^{11} \text{ n} \cdot \text{cm}^{-2}$	8 - 4
70	علاقة كثافة الاثار بزمن القشط عند السيل النيوتروني $1.9 * 10^{11} \text{ n} \cdot \text{cm}^{-2}$	9 - 4
72	كثافة الاثار الناتجة من انشطار اليورانيوم المنضب عند تعرضه الى سيول نوترونية مختلفة	10 - 4
73	علاقة كثافة الاثار كدالة لزمن القشط عند عيارية $5\text{N} , 5.5\text{N}$	11 - 4
74	علاقة كثافة الاثار كدالة لزمن القشط عند عيارية $7\text{N} , 6.25\text{N}$	12 - 4
81	كثافة الاثار الكلية كدالة للتركيز الكلي ($\text{Th} + \text{U}$) في النماذج القياسية	13 - 4
85	تركيز وكثافة اثار كل من الثوريوم واليورانيوم في النماذج القياسية	14 - 4
88	تركيز اليورانيوم المنضب في النماذج المدروسة	15 - 4

رقم الصفحة	عنوان الشكل	رقم الشكل
5	يوضح حدود الكشف في مختلف الطرائق المستخدمة لتحديد تراكيز اليورانيوم والثوريوم	1 - 1
6	مخطط انتقال المواد المشعة المطلقة جواً الى الانسان	2 - 1
11	يوضح طرائق انتقال اليورانيوم الى دم الانسان	3 - 1
14	تأثيرات الاشعاع على a الخلايا b الكروموسومات c جزيئات DNA	4 - 1
23	يوضح تفاعلات النيوترونات مع المادة	1 - 2
30	يوضح تركيب مصدر التفاعل ($\alpha + n$)	2 - 2
31	يوضح تركيب مصدر التفاعل ($\gamma + n$) الدائري	3 - 2
38	تغير معدل التآين الابتدائي (دالة التلف الاشعاعي) بتغير السرعة النسبية او الطاقة النوعية للجسيمات الساقطة والخط المنقط الافقي يمثل حد العتبة	4 - 2
40	يبين المراحل المختلفة لتكوين اثر الجسيم المشحون في مادة الكاشف	5 - 2
41	يوضح خطوات تكوين الاثر حسب نموذج وخزة الانفجار الابوني	6 - 2
43	يوضح تكوين الجذور الحرة في البوليميرات	7 - 2
44	يبين المناطق التي يتكون منها الاثر المستتر	8 - 2
46	يبين تأثير محلول القشط على المنطقة المتضررة	9 - 2
48	يوضح الشكل الهندسي لأثر السقوط العمودي	10 - 2
48	يوضح هندسة الاثر للسقوط المائل	11 - 2
49	يوضح السقوط المائل بزاوية اقل من الزاوية الحرجة b بزاوية مساوية للزاوية الحرجة	12 - 2
50	مراحل نمو الاثر بزيادة زمن الحفر	13 - 2
61	يوضح توزيع فيض النيوترونات السريعة على طول المصدر $^{241}\text{Am} - \text{Be}$	1 - 4
62	يوضح طيف اشعة كاما الناتجة من رقاقة الالمنيوم المغلفة بطبقة من الكادميوم بعد تشعيعها بالنيوترونات المنبعثة من المصدر $^{241}\text{Am} - \text{Be}$	2 - 4
65	علاقة كثافة الاثار بدلالة زمن القشط عند السيل النيوتروني $1.58 * 10^9 \text{ n} \cdot \text{cm}^{-2}$	3 - 4
65	علاقة كثافة الاثار بزمن القشط عند السيل النيوتروني $3.16 * 10^9 \text{ n} \cdot \text{cm}^{-2}$	4 - 4
67	علاقة كثافة الاثار بزمن القشط عند السيل النيوتروني $6.33 * 10^9 \text{ n} \cdot \text{cm}^{-2}$	5 - 4
67	علاقة كثافة الاثار بزمن القشط عند السيل النيوتروني $9.5 * 10^9 \text{ n} \cdot \text{cm}^{-2}$	6 - 4
69	علاقة كثافة الاثار بزمن القشط عند السيل النيوتروني $3.8 * 10^{10} \text{ n} \cdot \text{cm}^{-2}$	7 - 4

رقم الصفحة	عنوان الشكل	رقم الشكل
69	علاقة كثافة الاثار بزمن القشط عند السيل النيوتروني $7.6 * 10^{10} \text{ n} \cdot \text{cm}^{-2}$	8 - 4
71	علاقة كثافة الاثار بزمن القشط عند السيل النيوتروني $1.14 * 10^{11} \text{ n} \cdot \text{cm}^{-2}$	9 - 4
71	علاقة كثافة الاثار بزمن القشط عند السيل النيوتروني $1.9 * 10^{11} \text{ n} \cdot \text{cm}^{-2}$	10 - 4
75	علاقة كثافة الاثار كدالتقزم للقشط عند درجة حرارة (60 C°) وعيارية (5 N)	11 - 4
75	علاقة كثافة الاثار كدالتقزم للقشط عند درجة حرارة (70 C°) وعيارية (5 N)	12 - 4
76	علاقة كثافة الاثار كدالتقزم للقشط عند درجة حرارة (80 C°) وعيارية (5 N)	13 - 4
76	علاقة كثافة الاثار كدالتقزم للقشط عند درجة حرارة (60 C°) وعيارية (5.5 N)	14 - 4
77	علاقة كثافة الاثار كدالتقزم للقشط عند درجة حرارة (70 C°) وعيارية (5.5 N)	15 - 4
77	علاقة كثافة الاثار كدالتقزم للقشط عند درجة حرارة (80 C°) وعيارية (5.5 N)	16 - 4
78	علاقة كثافة الاثار كدالتقزم للقشط عند درجة حرارة (60 C°) وعيارية (6.25 N)	17 - 4
78	علاقة كثافة الاثار كدالتقزم للقشط عند درجة حرارة (70 C°) وعيارية (6.25 N)	18 - 4
79	علاقة كثافة الاثار كدالتقزم للقشط عند درجة حرارة (80 C°) وعيارية (6.25 N)	19 - 4
79	علاقة كثافة الاثار كدالتقزم للقشط عند درجة حرارة (60 C°) وعيارية (7 N)	20 - 4
80	علاقة كثافة الاثار كدالتقزم للقشط عند درجة حرارة (70 C°) وعيارية (7 N)	21 - 4
80	علاقة كثافة الاثار كدالتقزم للقشط عند درجة حرارة (80 C°) وعيارية (7 N)	22 - 4
82	علاقة كثافة اثار شظايا الانشطار الكلية من (U , Th) كدالة للتركيز في النماذج القياسية	23 - 4
86	علاقة كثافة الاثار للكلية (U , Th) كدالة للتركيز في النماذج القياسية	24 - 4
86	علاقة كثافة اثار شظايا انشطار اليورانيوم كدالة للتركيز في النماذج القياسية	25 - 4
87	علاقة كثافة اثار الانشطار الثوريوم كدالة للتركيز في النماذج القياسية	26 - 4
90	تركيز اليورانيوم المنضب في النماذج المدروسة مرتبة ترتيبا تنازليا	27 - 4

الفصل الأول

مقدمة عامة

(1 - 1) التمهيد

إن تعرض الإنسان والكائن الحي وبيئتها إلى الإشعاع يؤدي إلى مخاطر عديدة لا يمكن تجاهلها . وتكون مصادر الأشعاع من مصدرين أحدهما : طبيعي ، ينتج من انحلال القوى غير المستقرة بصورة ذاتية وتحولها إلى نوى مستقرة¹ .
والثاني : مصدر صناعي ، ينتج من خلال قصف نوى النظائر المستقرة بأنواع مختلفة من الجسيمات النووية² .
يتعرض الإنسان إلى النشاط الإشعاعي على شكل المادة المشعة ، نوع المصدر المشع وطاقته ، النشاط الإشعاعي للمصدر وعمر النصف للمادة المشعة³ .
أما تأثيرات الأشعاع على نوعين⁴ :-

- 1- تأثيرات حادة / يؤثر التعرض الحاد للجرعة الإشعاعية الزائدة في جميع أعضاء وأجهزة الجسم .
- 2- تأثيرات متأخرة / تحدث نتيجة التعرض إلى جرعة واطئة بصورة مستمرة .
تترك التأثيرات نتائج متماثلة ، متمثلة بظهور أعراض مرضية مثل أمراض الدم ، أمراض الجهاز الهضمي ، أمراض الجهاز العصبي ، سرطان الرئة ، سرطان العظام ، قصر العمر ، أو استحداث طفرات غير مقيدة للإنسان² .
ولاهمية هذا الموضوع وخطورته ظهرت عدة تقنيات للكشف وقياس النشاط الإشعاعي ، وإن أكثر هذه التقنيات شيوعاً واستخداماً في الوقت الحاضر هي كواشف الأثر النووية للحالة الصلبة⁵ .

(2 - 1) اليورانيوم المنضب Depleted Uranium

اليورانيوم المنضب Depleted Uranium ويعرف اختصاراً (DU) مادة سامة ومشعة ، وهو ناتج عرضي ينشأ عن عملية تخصيب اليورانيوم ، وهو نفايات نووية تسبب مشاكل بيئية خطيرة ، أما تسميته فجاءت من نتيجة لانخفاض نسبة تركيز

نظير اليورانيوم ^{235}U فيه من (0.72 %) إلى نحو (0.2 %) وتزداد نسبة تركيز نظير اليورانيوم ^{238}U فيه من (99.27 %) إلى حوالي (99.79 %)⁶ .
 يحتوي اليورانيوم المنضب على النظائر ^{238}U ونسبة (99.79 %) و ^{236}U ونسبة (0.0030 %) و ^{235}U ونسبة (0.2 %) و ^{234}U ونسبة (0.0008 %)⁷ .
 يمتاز اليورانيوم المنضب بمواصفات معينة ومن هذه المواصفات هي⁶

١- كثافته عالية جدا 19 g/cm^3 .

٢- خاصية الالتهاب .

٣- رخص ثمنه نسبيا .

٤- ويمتاز كذلك السميته الاشعاعية حيث يبلغ اشعاعه 60 % من اشعاعات اليورانيوم الطبيعي⁷ . ويبين الجدول (1 - 1) الفعالية الاشعاعية لليورانيوم الطبيعي واليورانيوم المنضب⁶ .

جدول (1 - 1) يوضح الفعالية الاشعاعية لليورانيوم الطبيعي والمنضب ومكوناتها⁶

الفعالية الاشعاعية النوعية ci/gm	^{234}U	^{235}U	^{236}U	^{238}U	
6.77×10^{-7}	%0.0058	%0.72	0	%99.27	اليورانيوم الطبيعي
3.6×10^{-7}	%0.0008	%0.20	%0.0030	%99.79	اليورانيوم المنضب

إن الخطورة الاشعاعية تكمن في نظير اليورانيوم ^{238}U ، حيث يمر اليورانيوم ^{238}U بسلسلة انحلال طبيعية باعثًا بذلك جسيمات الفا وبيتا واشعة كاما بطاقات مختلفة كما في الجدول (2 - 1)⁸ .

ويطلق غاز الرادون الذي يبعث جسيمات الفا وبسبب استنشاقه سرطان الرئة .

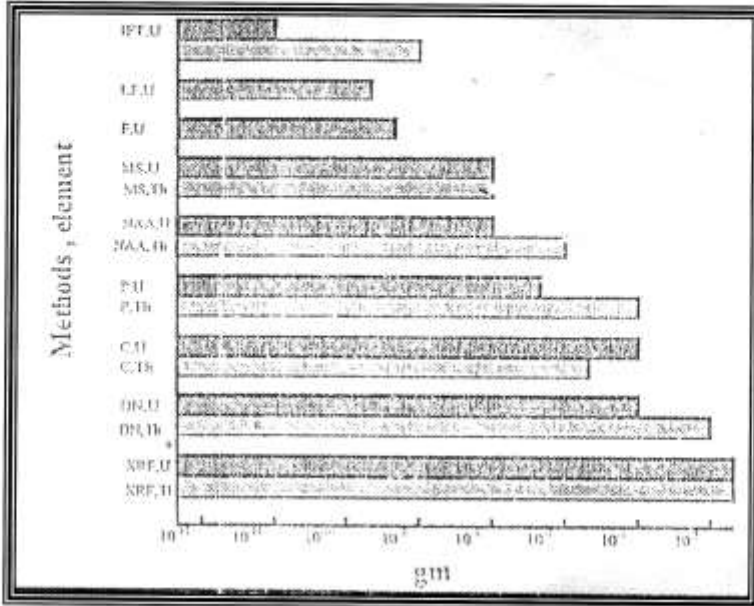
جدول (1 - 2) سلسلة انحلال نظير اليورانيوم (^{238}U) .⁸

Radiation Emitted			Radioactive Elements	Half-Life		
Alpha	Beta	Gamma		Minutes	Days	Years
☢		☢	☢Uranium-238 ↓			4.5 billion
	☢	☢	☢Thorium-234 ↓		24.1	
	☢	☢	☢Protactinium-234 ↓	1.2		
☢		☢	☢Uranium-234 ↓			247,000
☢		☢	☢Thorium-230 ↓			80,000
☢		☢	☢Radium-226 ↓			1,622
☢			☢Radon-222 ↓		3.8	
☢	☢		☢Polonium-218 ↓	3.0		
	☢	☢	☢Lead-214 ↓	26.8		
☢	☢	☢	☢Bismuth-214 ↓	19.7		
☢			☢Polonium-214 ↓	0.00016 seconds		
	☢	☢	☢Lead-210 ↓			22
☢	☢		☢Bismuth-210 ↓		5	
☢		☢	☢Polonium-210 ↓		138.3	
None			☢Lead-206	Stable		

لذا فان دراسة تركيز اليورانيوم المنضب في جسم الانسان من الامور بالغة الاهمية
تعكس مدى انتشار اليورانيوم المنضب وعلاقته بالامراض الغريبة التي ظهرت بعد
هذا التلوث الكبير .

استخدمت من اجل تحديد تراكيز اليورانيوم العديد من التقنيات النووية والتي من
اهمها ⁷ .

- ١- تقنية اثار شظايا الانشطار المستحث (IFT) Induced Fission track .
 - ٢- تألق الليزر المستحث (LF) Laser - Induced Fluorescence .
 - ٣- مقياس التألق (F) Fluorimetry .
 - ٤- المطياف الكتلي (MS) Mass spectrometry .
 - ٥- التحليل بالتنشيط النيوتروني (NAA) Neutron Activation Analysis .
 - ٦- مقياس الاستقطابية (P) polarography .
 - ٧- مقياس الشدة اللونية (C) Colorimetry .
 - ٨- النيوترونات المتأخرة (DN) Delayed Neutrons .
 - ٩- تألق الاشعة السينية (XRF) X - Ray - Fluore scence .
- وبفضل استخدام تقنية عدا اثار شظايا الانتظار المستحث (IFT) لما تتميز به من
دقة وسهولة بالاضافة إلى امكانيتها العالية في الكشف عن التراكيز الواطئة جد
لليورانيوم (يحدد اجراء ppb) والشكل (1 - 1) يوضح ذلك ⁷ .

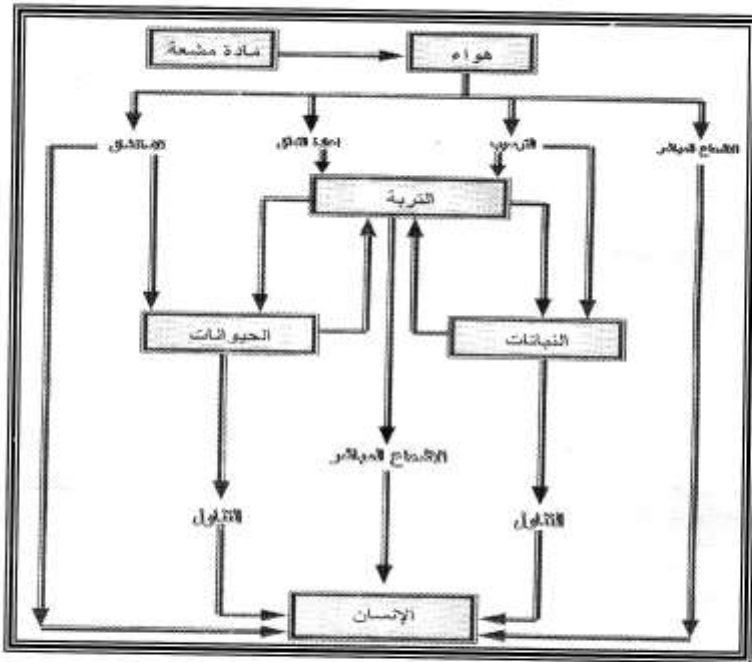


شكل (1 - 1) يوضح حدود الكشف في مختلف الطرق المستخدمة لتحديد تراكيز اليورانيوم والثوريوم ⁷ .

(3 - 1) غبار الهواء الجوي لليورانيوم المنضب

إن لليورانيوم المنضب صفة غير مرغوبة وهي أنه يحترق عند اصطدامه بسرعة كبيرة بأي شيء صلب فيخلق جزيئات مجهرية بالغة الصغر تتكون من أكاسيد اليورانيوم غير قابلة للذوبان نسبياً ، التي يمكن استنشاقها وابتلاعها بسهولة ، لهذا فهي خطيرة على صحة الإنسان . وكحد تقريبي يمكن ان تنتقل جسيمات اليورانيوم مسافة (10km) في الجو ¹⁶ بسبب الصغر المتناهي لحجمها الذي يكون حوالي (2.5mm) فان جسيمات اوكسيد اليورانيوم المنضب والتي تنتشر في الجو تدخل عن طريق الانف إلى المجرى الهوائي للجهاز التنفسي ، ومنه إلى الرئة ، وتترسب في مناطق مختلفة منها ، ويبقى العديد منها لسنوات طويلة ¹⁶ .

تبلغ كثافة معدن اليورانيوم (19.04 gm /cm^3) وبالنسبة لكثافة جزيئة ثاني اوكسيد اليورانيوم UO_2 فانها تبلغ (11 gm /cm^3) أي ما يعادل كثافة معدن الرصاص¹⁷ يمكن لجسيمات متساقطات اليورانيوم الالتصاق بالرمال او جسيمات الغبار على الارض ثم يعاد تعلقها في الجو بوساطة الرياح او حركة العجلات لتنتقل إلى اماكن اخر ، وتقوم بتلوث النباتات مباشرة عند سقوطها على الارض وتدخل إلى التربة حيث يتم امتصاصها من قبل النباتات بعد ذلك تقوم الحيوانات بتناول هذه النباتات الحاوية على هذه الجزيئات وتنتقل إلى الانسان . كما ان الخضراوات الملوثة يمكن أن تكون واسطة نقل مباشرة¹⁶ ويمكن توضيح انتقال المواد المشعة المطلقة في الجو إلى الانسان بالمخطط الموضح في أدناه (1 - 2)



شكل (1 - 2) مخطط انتقال المواد المشعة المطلقة جوا إلى الانسان¹⁶

(1 - 4) مكونات الدم

يشكل الدم (6 %) من مجمل وزن جسم الانسان الكلي ، ويتكون من خليط معقد التركيب مؤلف من جزئين ، الاول مصلي plasma والثاني خلوي Cellular ويتألف الجزء المصلي من

أ- السائل serum ويحتوي على املاح كالصوديوم والبوتاسيوم والكالسيوم والفسفور اضافة لمواد عضوية كالبروتينات والدهنيات والنشويات .

ب- الفيبرينوجين ويكون خيوط الفيبرين المهمة في عملية تخثر الدم اما الجزء الخلوي فيشكل حوالي (45 %) من حجم الدم والذي يتكون من كريات الدم الحمراء والبيضاء والصفائح الدموية ، تقوم هذه الخلايا بوظائف متعددة ابتداء من التغيرات الكيميائية في الخلايا الحية التي تؤمن الطاقة الضرورية للعمليات والنشاطات الحيوية والتي من خلالها يتم تمثيل المواد المتعددة للتعويض عن المندثر منها وانتهاء بحماية الجسم من الضرر ^{9.10.11} .

(1 - 4 - 1) كريات الدم البيضاء

يحتوي الدم الطبيعي على (4000 - 10000) كرية دم بيضاء (Leukocytes) لكل مليلتر من الدم . قطرها يتراوح بين (6 - 18) مايكرومتر ويمكن تصنيفها إلى خمسة انواع رئيسية ^{9.12} .

أ. كريات الدم البيضاء اللمفاوية (Lymphocytes) تمتلك هذه الخلايا نواة مركزية كبيرة وتشبه كثيرا خلايا العقد اللمفاوية وتشكل نسبة (20 - 40) % من كريات الدم البيضاء .

ب. كريات الدم البيضاء المتعادلة (Neutrophiles) وهي الكريات القابلة للاصطباغ بالاصباغ المتعادلة ونسبتها (40 - 75 %) من كريات الدم البيضاء .

ج. كريات الدم البيضاء الحامضية (Easinoiphils) والتي تمتاز بكونها سهلة الاصطياع بالصيغة الحامضية (الايوسين) ونسبتها من (1 - 6 %) من كريات الدم البيضاء .

د. كريات الدم البيضاء القاعدية (Bas ophills) تمتاز بكونها اليقة الاصباغ القاعدية ونسبتها اقل من 10 % من كريات الدم البيضاء .

هـ . كريات الدم البيضاء وحيدة النواة (Monocytes) ونسبتها تتراوح بين (2 - 10 %) من كريات الدم البيضاء .

تشكل هذه الكريات انفة الذكر خط الدفاع داخل الجسم ضد البكتريا التي يمكن ان تهاجمه ، تتراوح مدة بقائها من 24 ساعة إلى 3 ايام حيث تموت بعدها ليحل محلها خلايا جديدة متولدة من نخاع العظم والعقد اللمفاوية¹² .

(1 - 4 - 2) الصفائح الدموية

تتكون الصفائح الدموية (plateletes) من جزء نووي من بروتوبلازم الخلية وتمتلك اشكال مختلفة (مثلثية ، نجمية ، بيضوية ، ... الخ) يتراوح قطرها بين (2-4) مايكرو ميتر وهي في الاصل اجزاء صغيرة او نتف من المادة الاساسية الضخمة المتكونة في نخاع العظم والذي يطلق عليه الخلية النقية العرطالية (Megak aryocyte) ، تمتص الصفائح الدموية بواسطة الطحال بعد ان تغادر النخاع¹² ، ويتم طرح الجديد منها عند حدوث نقص في عددها . تؤدي دور بالغ الاهمية في السيطرة على النزف الدموي وتجمع الخثرة ، اذ انها تعمل كسدادة لغلق التمزق من خلال تجمع هذه الخلايا في منطقة الاصابة وتتراوح فترة بنائها بين (8 - 10) ايام لتموت وتعوض بخلايا جديدة¹⁰⁻¹² .

(1 - 4 - 3) كريات الدم الحمراء .

توجد هذه الكريات Erythrocytes بشكل اقراص مقعرة الجانبين ، عديمة النواة ، لذا لا يمكن اعتبارها خلايا متكاملة . يبلغ قطرها حوالي (8.4) مايكروميتر وسمكها (4.2) مايكروميتر يتراوح عددها بين (5.2) و (4.2) مليون كرية لكل ميليمتر من دم الرجل والمرأة على التوالي . تحتوي الكرية على 71 % ماء ، (28 %) خضاب ، (7 %) شحوم (كالكلسترول والسيشيين ... الخ) و (3%) سكريات واملاح وبروتينات انزيمية ومركبات مختلفة¹²⁻¹³ .

يقدر عمر كرية الدم الحمراء بـ (120) يوماً ويتأثر شكل وحجم كرية الدم الحمراء بعامل العمر ، حيث وجد انها تنكمش وتفقد قسماً من محتوياتها اثناء مدة فعاليتها في الدم ، وهناك علاقة بين عمر الكرية ونضوحها للخضاب وقلّة فعاليتها في نقل الاوكسجين ، ومن المؤشرات على كبر عمر كرية الدم الحمراء تكون الميثاموغلوبين MetHb الذي هو عبارة عن خضاب مؤكسد بالكرية القديمة العمر ، كما يمكن ان يعترى تكون الميثاموغلوبين إلى النواتج الاشعاعية التي تؤدي إلى تكوين بيروكسيد الهيدوجين وهو عامل مؤكسد قوي يساعد في تكون Met Hb . ان للكرية حديثة العمر انزيماً فعالاً في اختزال الميثاموغلوبين (NADPH Met HB) . يعمل الكلوتوثايون وهو افضل رابط غير بروتيني موجود في غشاء كرية الدم الحمراء على اختزال الميثاموغلوبين بوساطة الاتحاد مع بيروكسيد الهيدوجين حسب التفاعل الآتي



وترتبط وظيفة كريات الدم الحمراء بمبادلة الغذاء من الخلايا حيث تقوم باكسدة الخضاب في الرئة ثم اختزاله عند الانسجة¹³ تحتوي كريات الدم الحمراء على الخضاب وهو من المركبات الرئيسية التي تشكل اغلب مكونات كريات الدم الحمراء ، حيث يشكل الخضاب حوالي (99 %) من محتويات الكرية الداخلية ويختلف التركيز

الطبيعي للخضاب باختلاف الجنس ويبلغ (14 - 16) غرام (12 - 14) غرام لكل (100) ملتر من الدم الذكري والانثوي على التوالي . يحتوي الخضاب على الحديد بنسبة (0.35 %) من الخضاب الكلي^{14, 15} .

وبعد خضاب الدم من البروتينات الحاملة للاوكسجين حيث يوجد في كريات الدم الحمراء ، ويتكّن من الارتباط بالاكسجين بسبب احتوائه على مجموعة الهيم التي تعطية لونها الاحمر المميز . تتكون مجموعة الهيم من جزء عضوي مع ذرة حديد حيث يتألق الجزء العضوي المسمى (البروتوبورفيرين) من اربعة مجاميع بايرون التي ترتبط مع بعضها البعض بجسور من الميثان لتكوين الحلقة الرباعية البايرون . ترتبط ذرة الحديد في البروتوبورفيرين باربعة ذرات نتروجين في مركز الحلقة وتتصل الحلقة بالسلاسل الطرفية الآتية :-

- اربعة مجاميع مثل CH_3 -
- مجموعتا فاينيل $CH = CH_2$ -
- مجموعتا بروبايوليت $CH_2 - CH_2 - COOH$ -

(1 - 5) مسارات دخول النويدات المشعة إلى الجسم :

كل من القناة التنفسية والقناة الهضمية والجلد ممكن ان تكون طرقا ومسالك لدخول جسيمات اليورانيوم المنضب إلى داخل الجسم . ومن اكثر المسارات الشائعة هي¹⁸ :-

١- الاستنشاق (Inhalation) :

تستشق كمية من النويدات والجسيمات المشعة المحمولة بالهواء عن طريق الانف إلى المجرى الهوائي لأعلى الجهاز التنفسي ومنه إلى الرئة ، وترسب في مناطق مختلفة منها . وتبقى العديد منها لسنوات طويلة .

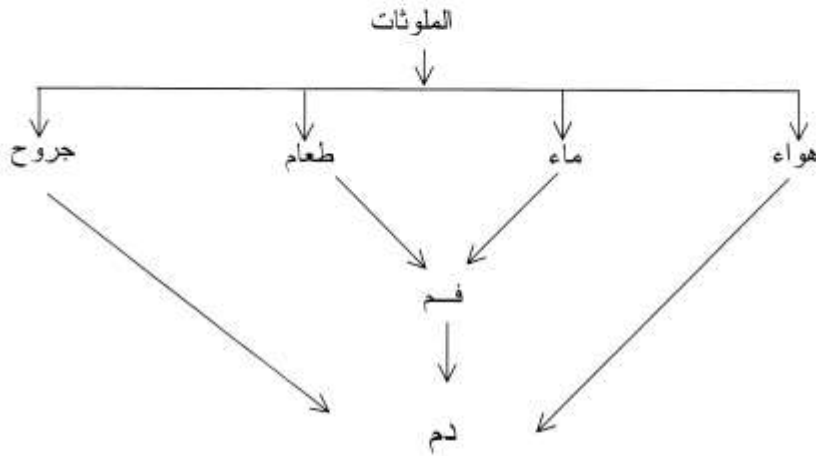
٢- الابتلاع (Ingestion) :

تدخل كمية من الجسيمات النووية المشعة إلى داخل القناة الهضمية عن طريق الابتلاع ، وذلك خلال تناول اطعمة او مياه ملوثة او تناول الطعام باليد الملوثة .

٣- الجلد (Skin) :

ممكن للثقوب او التشققات او غيرها من الجروح ان تهبيا مسار الدخول النوويات المشعة المترسبة على الجلد ، وبعد دخولها عبر هذا المسار فان اجزاء من هذه النوويات المشعة يمكن ان تصل إلى الدم ، او تنتقل إلى الغدد اللمفاوية الموضعية وغيرها .

ينتقل اليورانيوم المنضب كما ينتقل أي ملوث اخر إلى الدم من خلال طرائق اربعة يمكن توضيحها بالمخطط (1 - 3)



شكل (1 - 3) يوضح طرائق انتقال اليورانيوم إلى الدم .

(1 - 6) التأثيرات الصحية لليورانيوم المنضب Health Effects of Depleted Uranium

إن المخاطر التي تحصل من جراء التعرض إلى اليورانيوم المنضب ولفترات طويلة غير معروفة حتى الآن بشكل كامل ، إلا أن الكثير من الشواهد تشير بشكل لا يقبل الشك إلى علاقته بالأمراض والتشوهات الخلقية الغربية التي ظهرت لدى المتعرضين لليورانيوم المنضب .

يستطيع اليورانيوم المنضب البقاء في الرئة عدة سنوات ليؤثر على كمية صغيرة من الخلايا تتحول إلى خلايا سرطانية بعد بضع سنين . كما يتركز في الكلى وإذا كانت كمية اليورانيوم كبيرة نسبياً فقد تسبب العجز الكلوي لكن أية كمية منه تسبب سرطان الكلى . بعد استئصال اليورانيوم المنضب أو تمثله في الجسم ينتقل إلى الأجزاء الأخرى عن طريق الدورة الدموية وبالتالي فإنه يعرض الأعضاء الأخرى لمخاطر الإصابة بالسرطان ، أن التعرض أو التماس مع ذخائر اليورانيوم المنضب وخاصة بالنسبة للأطفال يسبب النتائج الآتية ⁷ :

- 1- تشوهات خلقية واسقاط الجنين سببها خلل جيني وهذه عثر عليها لدى الحيوانات أيضاً .
- 2- اللوكيميا وفقر الدم الناتج عن عدم تكون كريات الدم الحمراء وأورام خبيثة.
- 3- مجموعة أعراض مترامنه غير معروفة حتى الآن سببها اختلال وظائف الكلى والكبد .
- 4- ظهور أعراض مترامنه تشبه أعراض مرض نقص المناعة المكتسب .
- 5- الظهور المتكرر وبشكل واسع لداء القوباء الجلدي (Hemangioma) ومرض القوباء المنطقية خاصة لدى الأطفال .
- 6- زيادة مهمة في الأمراض المعدية سببها ضعف المناعة بشكل حاد .

ان الاعراض التي يشكو منها المتعرضون لليورانيوم المنضب عديدة للغاية من بينها تلف الاعضاء ، التعب الشديد ، فقدان التوازن ، الام الحنجرة ، السعال ، الطفح الجلدي ، التعرق الليلي ، الغثيان ، التقيؤ ، الاسهال ، الدوار ، الصداع ، فقدان الذاكرة ، الارتباك والتشوش ، مشاكل الابصار ، نوبات التشنج العضلي والام الاسنان⁷ ، ظهرت هذه الاعراض لدى الجنود الامريكان كما ظهرت لدى جنود وسكان المنطقة الجنوبية للعراق ، فقد تم الاستغناء عن خدمات اكثر من ثمانين الف من الامريكان كانوا يشكون من تلك الاعراض ومن مجموع الحالات الحرجة البالغ (5000) مصاب ، مات منهم (2400)⁷ .

(1 - 7) التأثيرات البيولوجية للإشعاع .

تتبدد طاقة الاشعة عند مرورها خلال كائن حي بنفس طريقة مرورها من اية مادة اخرى ، اما تاين او اثار ذرات او جزيئات المادة في النظام البيولوجي ، ويسبب التاين ضررا مباشرا بتعطيمه للاواصر الكيميائية في الخلية¹⁹ .
يعتمد مدى الضرر البيولوجي الحقيقي على عدة عوامل ، منها نوع وطاقة الاشعاع ، والعمر ونوع العضو في الجسم ، والجنس وعلى الحالة الصحية للشخص .

(1 - 7 - 1) تأثيرات الإشعاع على الخلية الحية .

الخلية هي الوحدة البنائية الاساسية في اجسام الكائنات الحية وان تأثير الاشعاع على الكائنات الحية هو ناتج من الضرر الذي يلحقه بخلايا الجسم .
يبدأ التأثير عندما تتفاعل طاقة الاشعاع مع الانسجة والخلايا منذ البداية ، حيث ان للاشعة والجسيمات المشحونة قابلية اختراق بروتوبلازم الخلية والتفاعل على مستوى الذرات لانتاج ازواج من الايونات والتي بدورها تتفاعل (كيميائيا - ذريا) مع الماء

2 - 5 - 3 المصادر النيوترونية النظائرية Isotopic Neutron Sources

تعد المصادر النيوترونية النظائرية من أكثر المصادر التي يمكن إستخدامها في المختبرات النووية .

تمتاز هذه المصادر بصغر حجمها وسهولة نقلها وإستعمالها ويتم الحد من المخاطر الصحية عند تصنيعها ، ولا تحتاج إلى تكاليف صيانة أو فولطية تشغيل وهي من أسهل انواع المصادر النيوترونية فهي خليط من مواد مشعة مناسبة مع عناصر خفيفة مثل البريليوم أو البورون وتولد النيوترونات من العمليات (γ, n) أو (α, n)³⁹. أما عيوب هذه المصادر فيتمثل بوطا عتي فيضها النيوتروني مقارنة مع المفاعلات النووية .

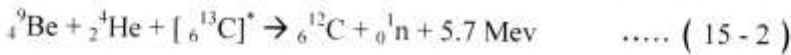
هناك نوع آخر من المصادر النيوترونية النظائرية تتكون من مسحوق العناصر الثقيلة التي تبعث النيوترونات بطريقة الانشطار التلقائي لجزء من المسحوق⁶³ . وفيما يأتي بعض أنواع المصادر النيوترونية النظائرية :-

أولا : مصادر تفاعل (α, n) :- (Aloha - neutron) Interaction Sources
تتكون هذه المصادر من مزيج من مادتين الأولى ذات نوى خفيفة مثل (${}^9_4\text{Be}$) والاخرى من نوى ثقيلة باعثة لجسيمات الفا والجدول يوضح ذلك⁶⁴

جدول (2 - 1) يوضح مصادر (α, n)⁶⁴

Nuclide	Target	Half-life	Neutron Flux n/cm ² . Sec
²²⁷ Ac	Be	21.8 years	1.5 * 10 ⁷
²²⁶ Ra	Be	1602 years	1.3 * 10 ⁷
^{228Th}	Be	1.9 years	2 * 10 ⁷
²³⁸ Pu	Be	87.7 years	2.2 * 10 ⁶
²⁴¹ Am	Be	458 years	2.2 * 10 ⁶
²⁴² Cm	Be	16.3 days	2.5 * 10 ⁶

ومن مصادر التفاعل (α, n) المستعملة بصورة واسعة هو مصدر ²⁴¹Am - Be الذي يولد نيوترونات على وفق التفاعل التالي



(1 - 7 - 2) تصنيف امراض الإشعاع

يمكن تقسيم الآثار التي تتركها الإشعاعات على الكائن الحي إلى مجموعتين رئيسيتين ، تضم المجموعة الأولى الآثار التي تظهر فوراً أو بعد التعرض بوقت قصير وتدعى بالآثار الحادة (Acute Effects) . أما المجموعة الثانية فإنها تضم تلك الآثار التي يمكن أن تظهر بعد فترات طويلة قد تمتد إلى سنوات كثيرة ، تسمى هذه المجموعة بالآثار اللاحقة أو المتأخرة (Delayed Effects)²¹ والجدول (1 - 3) يبين ذلك¹⁹ .

جدول (1 - 3) يبين امراض الإشعاع ، اعراضها واسبابها¹⁹

الاسباب	المرض وأعراضه	
نقص كريات الدم الحمراء نقص الاقراص الدموية نقص كريات الدم البيضاء نقص في الخلايا المبطنه للامعاء وتلف الجلد الموت الانقسامى للخلية الذكرية والبيضة الانثوية نقص كريات الدم وتلف الجهاز العصبي المركزي	فقر الدم النزف فقدان المناعة ضد البكتريا تدهور الصحة وفقدان الوزن العقم الموت	الآثار الحادة
ضرر كيميائى للحوامض النووية التشعب فى مرحلة تكون اعضاء الجنين الطفرات فى الخلايا الجسدية الإشعاعات تسبب اعتام عدسة العين	الطفرات الجينية الأضرار بالجنين حدوث السرطان فقدان البصر	الآثار المتأخرة

بالنسبة للطفرات الجينية Mutation Gene وتكسر الكروموسومات ، فإن الجينات (Genes) مسؤولة عن نقل الصفة الوراثية . وتتجمع على شكل مجموعات منظمة

تسمى الكروموسومات (Chromosomes) ، وإن شريط الكروموسوم الواحد يحتوي على $(3 * 10^9)$ من جزئيات DNA .

وعند تأين أو تهيج إحدى الذرات في جزئية من جزئيات الـ DNA الموجودة في النواة سوف يؤدي إلى تلف قد يصيب إحدى الجينات التي تحمل إحدى الصفات الوراثية وبالتالي لن تنتقل المعلومات إلى الجيل الآخر . وهناك نوع آخر من التلف الذي يمكن أن يصيب الجينات عندما تسبب الإشعاعات قطع الكروموسومات . كما أن تغير عدد الكروموسومات مثل الزيادة أو النقصان يمكن أن يسبب حالات تشوه سيئة جدا مثل البلاهة والتخلف العقلي والتشوهات الخلقية .

أما بالنسبة للسرطان (Cancer) فإنه بعد التأثير الجسماني السائد للإشعاع المؤين الذي يظهر متأخرا ²⁰ .

يمكن تعريف السرطان على أنه نوع من الإضطراب في السيطرة على عملية انقسام الخلايا ينتج عنها تكاثر الخلايا بصورة غير مسيطر عليها من قبل الجسم ¹⁹ . وعموما هي ناتجة عن أحداث تغيرات تطرأ على نواة الخلية نتيجة تأثير الإشعاع على الجهاز الكروموسومي للخلايا ، حيث يؤدي ذلك إلى تغير في عدد الكروموسومات ، وفي طبيعة هذه الكروموسومات ، ومن أنواع السرطانات التي تصيب الجسم هي (سرطان العظام واللوكميا ، وسرطان الغدة الدرقية ، وسرطان الرئة ، وسرطان الجلد وسرطان الدماغ ، وسرطان الثدي وغيرها) .

بخصوص اللوكيميا (Leukemia) أو (ابيضاض الدم) ²² فإنها من الافات التي يعتقد أن الإشعاعات تكون سبباً فيها وينشأ هذا المرض من النسيج الرابط للعظم . ومن نتائج هذا المرض زيادة مفرطة في عدد كريات الدم البيضاء ويصيب الأطفال أكثر من بقية الفئات العمرية .

(1 - 8) الدراسات السابقة

لقد تعددت الدراسات التي أجريت لإيجاد تركيز اليورانيوم في جسم الانسان ، ومن هذه الدراسات :-

- الدراسة التي أجراها الباحث (1943) HOFFMAN باستخدامه تقنية التآلق ، لتعين تركيز اليورانيوم في الدم الطبيعي وكان بحدود (0.1ppm)²³ .
- الدراسة التي أجراها الباحث (1967) A.George وكان تركيز اليورانيوم في العظام والنسيج هو (0.12ppb)²⁴ .
- الدراسة التي أجراها الباحث (1968) M. Picer et . al. وكان تركيز اليورانيوم في الدم البشري ($5 * 10^{-10}$ g / MI) وفي العظام (0.4 ppb)²⁶
- الدراسة التي أجراها الباحث (1970) T . Nozaki وكان تركيز اليورانيوم في العظام ما بين (0.1ppb إلى 10ppb)²⁵ .
- الدراسة التي أجراها الباحث (1970) E . I . Hamilton والتي كانت نتائجها تتراوح بين (0.25-1.41) ppb والتي استخدم فيها تقنية الكشف عن النيوترونات المتأخرة (Delayed Neutrons)²⁷ .
- الدراسة التي قام بها الباحثان (1970) (B . S carpenter and C . H .) والتي استخدم فيها تقنية عد شظايا الانشطار وكاشف اللكسان لإيجاد تراكيز اليورانيوم في كامل الدم وبلازما الدم فكان معدل التركيز في كامل الدم حوال (86.1 + 5.6 ppb) . اما في البلازما فكان التركيز حوال (60.5 + 12ppb)²⁸ .
- الدراسة التي أجراها (1972) E . I . Hamilton واستخدمت فيها تقنية التحليل بالتنشيط النيوتروني وكانت تراكيز اليورانيوم في النسيج ما بين

(0.16ppb) إلى (0.60ppb) وفي العظام (6.94ppb) أما في الدم فقد كان ²⁹ (0.84ppb)

• دراسة (1979) S . L . Koul & L . T chadderton التي استخدم فيها كاشف للكسبان ، وتم في هذه الدراسة إيجاد تراكيز اليورانيوم في كامل الدم وبلازما الدم لأشخاص أصحاء وأشخاص مصابين بالليوكيميا (سرطان الدم) . فكان التركيز للأصحاء في كامل الدم ppb (0.35-0.6) وفي بلازما الدم ppb (0.11 – 0.82) وكذلك تم تحديد تراكيز اليورانيوم في مرضى مصابين بالليوكيميا وكان في كامل الدم بحدود ppb (1.5 – 8.7) وفي بلازما الدم بحدود ppb (12 – 180) ³⁰ .

• دراسة (1980) R . P arshad . et . al : حيث وجد ان معدل تركيز اليورانيوم في دم الانسان الطبيعي بحدود ($3.5 \cdot 10^{-10} \text{g/ml} + 14.2$) وذلك باستخدام كاشف للكسبان ³¹ .

• الدراسة (1984) M . Romero . et . al التي استخدم فيها كاشفي Mica والـ poly carbamate ووجد تركيز اليورانيوم بكامل الدم يتراوح بين (0.4ppb-1.4ppb) وفي بلازما الدم يتراوح بين (0.96ppb – 1.4ppb) ³² .

• دراسة (1985) Y . Igrashi et . al . لتراكيز اليورانيوم الطبيعي في نماذج أنسجة وعظام بشرية متمثلة بـ (رئة Lung كبد liver ، كلية Kidney ، عضلات Muscle ، طحال Spleen ، قلب Heart ، العظام Bones) وكانت التراكيز من (0.15 ppb) إلى (1.7 ppb) ³³ .

• الدراسة التي قام بها (1986) K . Das et . al . في الدم البشري التي استخدم فيها كاشف للكسبان تراوحت فيها التراكيز بين ($0.33 \cdot 10^{-10} + 0.023 \text{g/ml} - 0.74 \cdot 10^{-10} + 0.34 \text{g/ml}$) ³⁴ .

- دراسة (1986) N . Segovia التي أجريت على دم فئات مختلفة من المجتمع (اصحاء ، ومتعرضين للإشعاع ومصابين بمرض اللوكيميا) حيث كانت بحدود (0.91 ppb) في كامل الدم ، و (0.98 ppb) في بلازما الدم . وبالنسبة للأشخاص العاملين في مجال الإشعاع فكان معدل تركيز اليورانيوم في كامل الدم بحدود (0.98 ppb) و (1.04 ppb) في بلازما الدم . أما للأشخاص المصابين باللوكيميا فكان معدل تركيز اليورانيوم بحدود (1.71ppb) في كامل الدم و بحدود (1.79 ppb) في بلازما الدم ³⁵ .
- دراسة (2001) مرتضى فائز سلطان التي إستخدم فيها كاشف CR - 39 لايجاد تراكيز اليورانيوم المنضب في عينات مصابة باللوكيميا وكانت التراكيز تتراوح بين (0.066 ppm – 0.202 ppm) ³⁶ .
- دراسة (2001) بشرى جودة حسين لتراكيز اليورانيوم المنضب في أنسجة بشرية مختلفة باستخدام كاشف CR - 39 حيث كانت التراكيز تتراوح بين (0.11 ppm – 1.94 ppm) ³⁷ .
- دراسة (2003) محمد هوبي ابراهيم لتراكيز اليورانيوم المنضب في عينات بشرية مصابة حيث كانت التراكيز تتراوح بين (0.031ppm – 0.060ppm) وبمعدل تركيز مقداره (0.044ppm) ³⁸

(1 - 9) الهدف من البحث :-

الهدف الرئيس من هذه الدراسة هو تحديد تراكيز اليورانيوم المنضرب في نماذج بايولوجية متمثلة بالأنسجة (Tissue) ودم (Blood) لنساء . حوامل يعانين من اجهاض وولادات مشوهة . وتم اختيار نماذج الدم كونها تعطي تصور واضح عن مدى انتشار اليورانيوم المنضرب في بقية انحاء الجسم واستقراره فيه . واخذت النماذج من محافظة البصرة لانها اكثر المحافظات قربا لساحة العمليات ووجود مخلفات الحرب من اسلحة ثقيلة مدمرة ومتروكة لحد الان قرب دور السكن للمواطنين . واثو ذلك على هذه التشوهات الخلقية والاسقاطات المتكررة جراء هذه المواد المشعة على البيئة والانسان

تم استخدام تقنية عد آثار شظايا الانشطار على كاشف اللكسان Lexan ومن الجدير بالذكر أن استخدام كاشف اللكسان والنيوترونات السريعة في نماذج بايولوجية (انسجة + الدم) يجري لأول مرة في القطر على وفق علم الباحث .

جدول (2 - 3) يبين العلاقة بين تكوين الاثار والمقاومة النوعية للمادة ⁸¹

Resitivity (ohmic) المقاومة النوعية	Material المادة	
من 10^8 إلى 10^{22}	سيليكات Glasses زجاجيات Polymers بوليمرات	يتكون أثر Track Formeed
من $3 * 10^5$ إلى $25 * 10^5$	Molybdenite موليبدنيت	
من $2 * 10^5$ إلى $2 * 10^6$	V ₂ O ₅ Glass زجاج	
من $1 * 10^3$ إلى $2 * 10^5$	SILICON سيليكون Germanium جرمانيوم Tungesten تنجستين Zinc خارصين	لا يتكون أثر NO Track Formeed
من 10^{-4} إلى 10^{-2}	Copper نحاس Aluminium المنيوم Gold ذهب	

(2 - 8) تصنيف كواشف الاثر النووي للحالة الصلبة :-

(2 - 8 - 1) الكواشف غير العضوية : Inorganic Detectors

وهي الكواشف التي لا يدخل في تركيب مادتها عنصر الكربون والهيدروجين ، وتكون الروابط بين ذرات جزئياتها ايونية ، مثل الزجاجيات ، السليكات ، هاليدات الاكليل ⁸².

(2 - 8 - 2) الكواشف العضوية : Organic Detectors

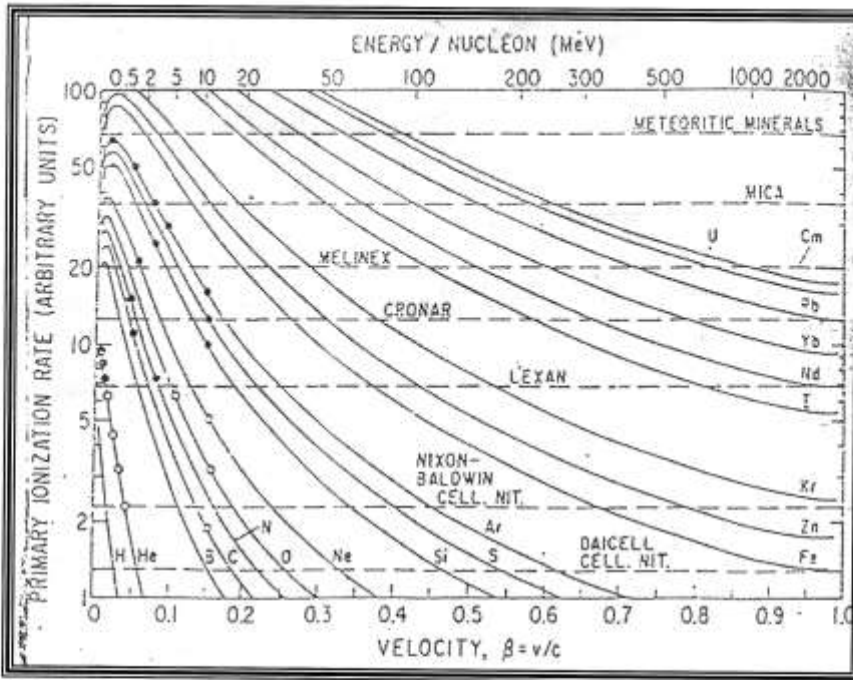
وهي الكواشف التي يدخل الكربون والهيدروجين في تركيب مادتها ، مثل اللدائن (المواد البلاستيكية بكل انواعها) اللكسان و الماكروفييل) ونترات السليولوز بكل انواعه (CA - 80 - 15 و CN - 85 و LR - 115) وكاشف PM - 355 CR - 39 ، وغيرها ⁷².

تعد الكواشف العضوية أكثر تحسسا من الكواشف غير العضوية ، يبين الجدول (2 - 4) حساسية بعض الكواشف العضوية لايونات الثقيلة والخفيفة على عكس الكواشف غير العضوية التي تتحسس الايونات الثقيلة فقط ⁷⁶ .
جدول (2 - 4) أنواع الكواشف والجسيمات المؤينة وطاقتها التي يمكن تحسنها ⁷⁶ .

الايون وطاقته الممكن تسجيلها	التركيب الجزيئي	الكاشف	
100 Mev ⁵⁶ Fe	Mg Fe SiO ₄	الزبرجد olivine	كواشف الأثر غير العضوية Inorganic Detectors
4Mev ²⁸ Si	Na ₄ Ca AL ₆ Si ₁₄ O ₄₀	سيليكات البوتاسيوم والألومنيوم oliyoclase	
100 Mev ⁴⁰ Ar	SiO ₂	الكوارتز Quarts	
16 Mev ⁴⁰ Ar	SiO ₂	Silica Glass السليكا	
20 Mev ²⁰ Ne	23 SiO ₂ ; 5 Na ₂ o; 5CaO : AL ₂ O ₃	الزجاج العادي sodalime Glass	
2Mev ²⁰ Ne	Kal ₃ Si ₃ O ₁₀ (OH) ₂	المايكا Mu SCOVite Mica	
شظايا الأستطار Fission Fregments	= CH ₂	البوليثلين	كواشف الأثر العضوية organic Detectors
3Mev ⁴ He	C ₂ H ₈ O ₂	Plexiglass بنكسكلاس	
0.3Mev ⁴ He	C ₁₆ H ₁₄ O ₃	اللخسان والماكروفيل Laxan , Makrofel	
0.55Mev ² H	C ₆ H ₈ O ₉ N ₂	نترات السيليلوز Cellulose Nitrate	

(2 - 9) طاقة العتبة للأثر Track Threshold Energy

يمكن تعريف طاقة العتبة للأثر على أنها أقل طاقة تأين ابتدائية Primary Ionization لازمة لإحداث أثر قابل للقسط الكيميائي⁸². تختلف طاقة العتبة اللازمة لأحداث تلف Damage في مادة الكاشف باختلاف الجسيمات المؤينة الساقطة واختلاف الكواشف⁸³ يبين الشكل (2 - 4) منحنيات التلف الإشعاعي الذي تسببه الأيونات المختلفة كدالة إلى سرعتها ، وتحدد طاقة العتبة للكاشف عند التقاء الخطوط المنقطعة بالمنحنيات المميزة للجسيمات المؤينة⁸⁴.



شكل (2 - 4) تغير معدل التأين الابتدائي (دالة التلف الإشعاعي) بتغير السرعة النسبية أو الطاقة النوعية للجسيمات الساقطة والخط المنقط الأفقي يمثل حد العتبة⁸⁴.

إن عتبة كثافة الضرر لجميع كواشف الأثر تكون أعلى من الطاقة النوعية المفقودة للالكترونات لذا فهي غير حساسة للالكترونات السريعة وأشعة كاما ، بالإضافة إلى ذلك فإن معظم كواشف الأثر النووي لا تستجيب للجسيمات المشحونة الخفيفة مثل البروتونات والديوترونات وبالتالي فهي غير حساسة للبروتونات المرتدة نتيجة تفاعل النيوترونات السريعة مع مادة الكاشف ويعود السبب في ذلك إلى كونها ذات عتبات كشف عالية⁸⁴.

(2-10) خصائص كواشف الأثر النووية للحالة الصلبة

(SSNTDS) (Properties Of Solid State Nuclear Track Detectors)

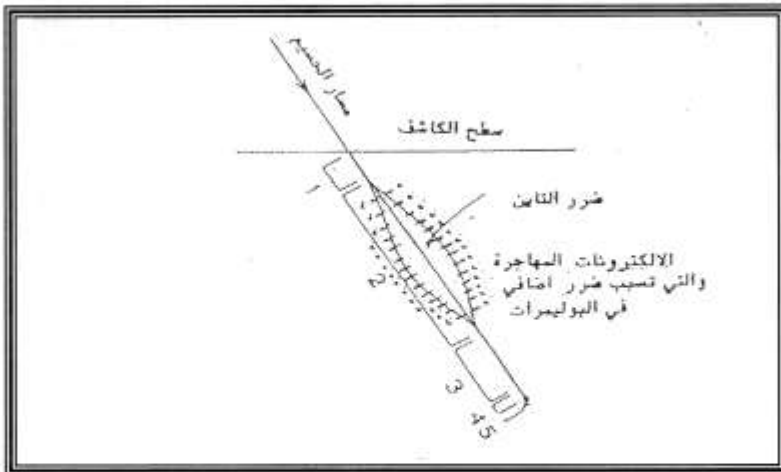
إن الكواشف للأثر النووي تمتاز بخواص فريدة ونادرة ونظراً لما تمتلكه من مرونة وكفاءة عاليتين فقد حلت محل الأنواع الأخرى من الكواشف في كثير من المجالات أنها تمتاز بمواصفات عديدة هي :

- ١- رخيصة التكلفة ، سهلة الاستخدام لا تتطلب أجهزة إلكترونية⁷².
 - ٢- بعد تعرضها للإشعاع تصبح غير مترابطة المقطع بسبب تكسر الأوصال الكيميائية⁸⁵.
 - ٣- تقيس مستويات واطئة من الإشعاع النووي عن طريق تجميع الآثار لفترات زمنية طويلة⁸⁶.
 - ٤- غير حساسة لأشعة كاما وبيتا والنيوترونات⁷²⁻⁸⁷.
 - ٥- لها القدرة على الاحتفاظ بتسجيلها بعد انتهاء القراءة⁸⁸.
 - ٦- لا تتأثر بالضوء أو بدرجات الحرارة المعتدلة أو الرطوبة⁸².
 - ٧- يمكن إظهار الآثار المستترة المسلحة عليها بعمليات القشط الكيميائي⁸⁹.
- بالإضافة إلى ذلك تمتاز الكواشف البوليمرية بالخصائص التالية :-
- ١- حساسيتها العالية للإشعاع⁹⁰.
 - ٢- ذات شفافية بصرية عالية⁸⁰.
 - ٣- عالية التناظر والتجانس⁹¹.
 - ٤- لا تنوب في محاليل القشط الكيميائية ، حيث تعمل محاليل القشط على تحلل السلسلة البوليمرية من خلال تقليل سمكها بعملية القشط⁹².

(2 - 11) مراحل تكون الضرر في المواد الصلبة العازلة
Stages Of damage Formation in an insulator Solid materials

عند سقوط جسيمة مشحونة على مادة صلبة عازلة فان هناك خمسة مراحل متعاقبة⁸² يمكن حدوثها لتكوين الضرر :-

- ١- مرحلة إنتزاع الألكترونات من الجسيمة الساقطة نتيجة لتفاعلها مع ذرات المادة الصلبة وقد لا ينتج هذا التفاعل ضرر بكثافة لتكوين أثر قابل للقشط .
- ٢- المنطقة التي يتحرك فيها الجسيم بسرعة كبيرة جدا ليترك أثر قابل للقشط والملاحظة وتظهر هذه المنطقة عند الطاقات العالية للأيون .
- ٣- المنطقة الأساسية للضرر القابل للقشط وتنتهي هذه المنطقة عندما يبدأ الجسيم باكتساب الألكترونات ويتباطأ إلى الحد الذي لا يتمكن بعده من احداث الضرر بشكل كافي .
- ٤- المرحلة التي يستمر خلالها الجسيم باختراق المادة الصلبة ولكنه يصبح غير قادر على تكوين أثر واضح .
- ٥- المرحلة التي يكتسب فيها الجسيم كل الألكترونات التي فقدها في المرحلة الأولى ويصبح في وضع الاستقرار ، والشكل (2 - 5) يمثل المراحل الخمسة التي يمر بها الجسيم الساقط⁸² .

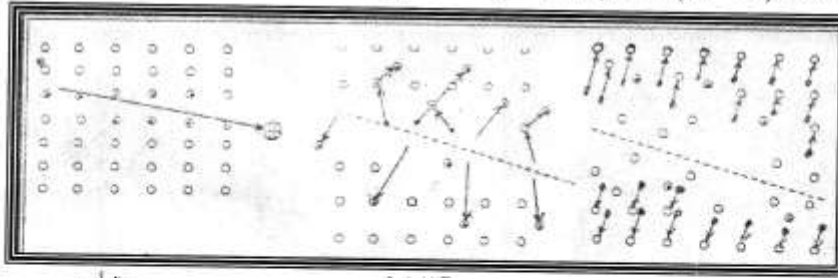


شكل (2 - 5) يبين المراحل المختلفة لتكون أثر الجسيم المشحون في مادة الكاشف⁸²

ليس من الضروري ظهور جميع المراحل السابقة فالمرحلة (الثانية) تظهر فقط في حالة دخول الجسيمات إلى المادة الصلبة بطاقة عالية جداً ، كما ان المرحلة (الرابعة) والتي تسمى بمرحلة قصور المدى range deficit لا يمكن ملاحظتها عند اندماج منطقة الضرر الاساسية مع المرحلة (الخامسة) .

(2 - 12) ميكانيكية تكون الأثر المستتر في المواد الصلبة العازلة :-

هناك العديد من الاثباتات العلمية⁷⁶ التي تشير بان هناك اثنين من الميكانيكيات التي يمكن قبولها في تفسير تكون الأثر المستتر في المواد الصلبة العازلة احدهما في المواد غير العضوية مثل البلورات والزجاج والآخرى للمواد العضوية مثل البوليمرات . ففي حالة المواد الصلبة غير العضوية (Inorganic) فإن نموذج وخزعة الانفجار الايوني Ion Explosin Spike الذي أفتخره العالم (Fleischer et al , 1965)⁸¹ حقق نجاحا كبيرا في تفسير تكون الأثر المستتر . ووفقا لهذا النموذج فان مرور الجسيمات المشحونة الثقيلة خلال المادة الصلبة العازلة ينشأ عنه ظهور عدد هائل من التاينات الابتدائية التي تولد ايونات موجبة الشحنة على طول مسار تلك الجسيمات ، كما في الشكل (2 - 6) A تنشأ بين الايونات المتولدة قوة تنافر كولومية شديدة فتبتعد عن بعضها وتحتل مواقع خالوية شكل (2 - 6) B ومن ثم تحصل عملية استرخاء (Relaxation) بصورة مرنة نتيجة لانتشار الاجهاد على نحو واسع حول مسار الجسيمة المشحونة الشكل (2 - 6) C الذي يمثل المرحلة الأخيرة .



A التاين

Bالراحة

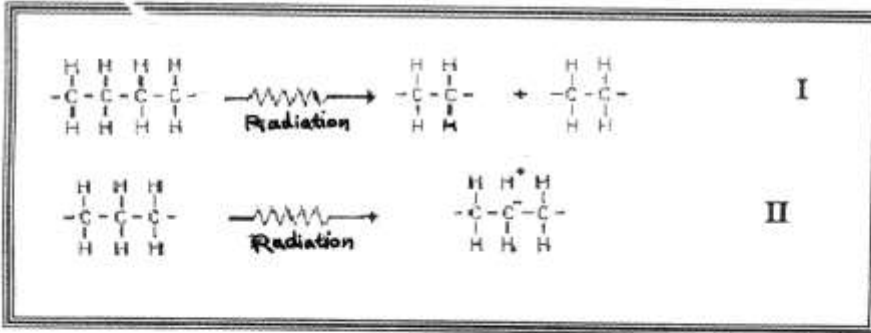
Cالشدة و التهدئة

والتناثر

شكل (2 - 6) خطوات تكون الأثر حسب نموذج وفرة الانفجار الايوني⁷⁶

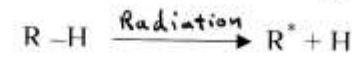
أما في المواد العضوية organic فإن مرور الجسيمات المشحونة الثقيلة خلالها يسبب تكسر السلاسل البوليمرية على طول مسارها وينشأ عن ذلك سلاسل بوليمرية صغيرة ذات نهايات فعالة وجذور حرة Free radicals كما في الشكل (2 - 7) ويعتمد عدد الانحلالات في السلسلة البوليمرية على كمية الطاقة المفقودة من قبل الجسيمات الساقطة.⁹³

إن تكون الجذور الحرة يكون إما بكسر أصرة c-c أو أصرة c-H وكما يأتي



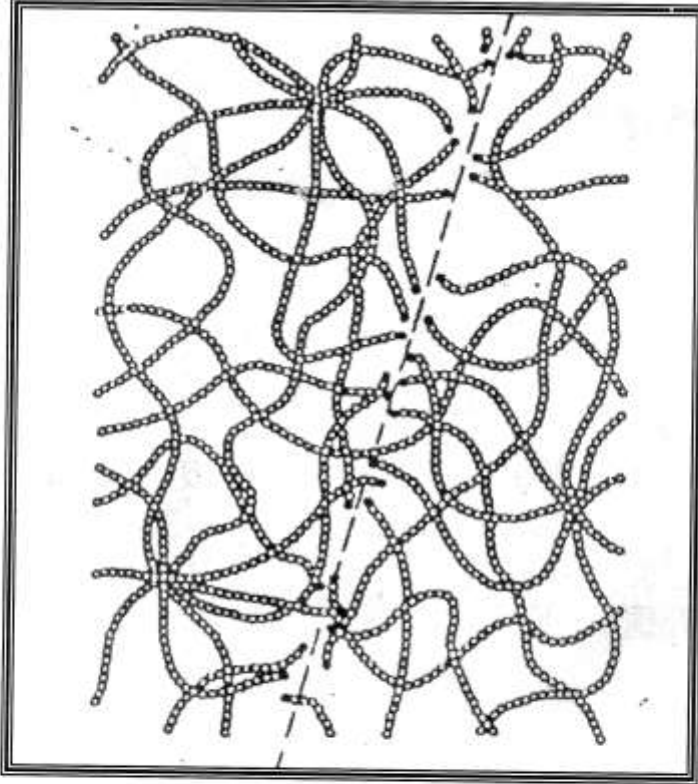
إن طاقة أصرة c-H اكبر من طاقة أصرة (c - c) لذلك فإن التفاعل II يحدث بمعدل أقل لأن الرابطة (c-H) أكثر ثباتاً من الرابطة c-c.⁷⁶ ففي التفاعل I يتم كسر رابطة (c-c) وفي التفاعل الثاني يتم كسر رابطة (c-H) .

ونادراً ما تعود الجذور الحرة للالتحام بسبب وجود الأوكسجين لان الأوكسجين يميل إلى الاتحاد مع الايونات والجذور الحرة مانعاً إعادة اتحادها (Recambina tion) ويمكن تمثيل ذلك بالتفاعل⁸².

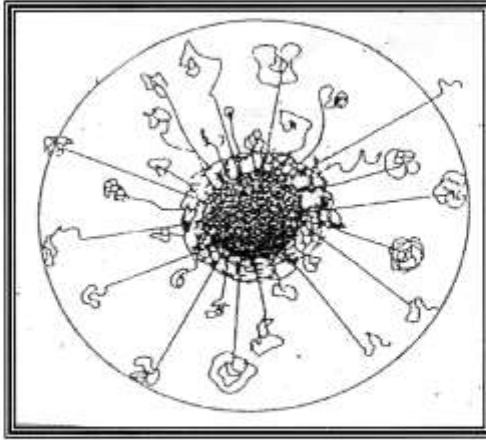


حيث ان R تمثل أي بوليمر .

- يتكون الأثر المستتر المتولد في البوليمرات من ثلاث مناطق رئيسية⁹⁴ موضحة بالشكل (2 - 8) وهذه المناطق هي :-
- 1- مركز الأثر : (Track core) ويتمثل بالدائرة الداخلية الداكنة وهو ذا قطر (10nm) .
 - 2- هالة الأثر : (Track Halo) ويتمثل بالدائرة الخارجية وهي قطر يتراوح بين (100 nm) إلى (1000 nm) .
 - 3- الغلاف ذو القشط التمييزي (Apreferential Etching Sheath) ويقع بين مركز الأثر وهالة الأثر ، وهو بقطر يتراوح بين (10 nm) (100nm) .



شكل (2 - 7) يوضح تكون الجنور الحرة في البوليمرات⁹⁴



شكل (2 - 8) يبين المناطق التي يتكون منها الأثر المستتر⁹⁴ في البوليمرات بالإضافة إلى الآلية الكيميائية التي يتكون بها الأثر المستتر في المواد العضوية فان هناك ايضا نموذج مقبول بشكل كبير⁹⁵ يوضح كيفية التسي يتكون بها الأثر المستتر في مختلف كواشف الأثر البوليمرية وهو نموذج الطاقة المقيدة المفقودة (REL) الذي اقترحه العالم (Benton et al , 1967)⁹⁶ وطبقا لهذا النموذج فان الجسيمة الساقطة تؤين الوسط البوليمري ويتولد عن ذلك الكترونات ذات طاقة وتسمى بأشعة (δ -ray) والتي تساهم في تكوين الأثر المستتر إذا كانت تمتلك طاقة أقل من القيمة المحددة (W_0) والقيمة (W_0) تمثل أعلى حد للطاقة يمكن ان يساهم في تكوين الأثر .

وبذلك يمكن تعريف الطاقة المقيدة المفقودة (REL) على انها معدل الطاقة المفقودة على طول الأثر والتي تعتمد على إنتاج أشعة ذات الطاقة الأقل من القيمة (W_0)⁸².

ويمكن تمثيلها بالمعادلة الآتية :-

$$REL = \left(\frac{d\epsilon}{dx} \right)_{w < w_0} = n_0 e^4 Z_{eff}^2 / 8\pi \epsilon_0^2 m_0 c^2 B^2 [\ln (W_{max} \cdot W_0 / I^2) - B^2 - \delta - \nu] \dots (2 - 27)$$

حيث $0.511 \text{ Mev} = m_0 c^2$ تمثل الطاقة السكونية للإلكترون .

δ , ν : عوامل تصحيح و Z_{eff} : الشحنة الفعالة

W_{max} : تمثل الطاقة المنتقلة القصوى والتي تعطى بالمعادلة⁹⁷

$$W_{max} = \left[\frac{B^2}{1 - B^2} \right] \cdot m_0 c^2 \quad \dots (2 - 28)$$

اما أعلى قيمة إلى W_0 هو (350ev)⁷⁶ .

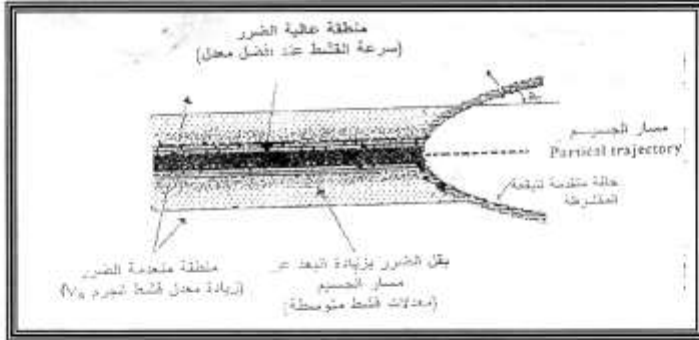
2 - 13 القشط الكيميائي Chemical Etching

ان مرور الجسيمات المؤينة خلال المواد العازلة يعمل على تكوين مسارات من التلف بحدود A° (30 - 100)^{98, 91} تسمى بالآثار المستترة ويمكن ملاحظة الآثار المستترة تلك باستخدام المجهر الالكتروني النافذ (TME)⁷⁴ وبقوة تكبير عالية جدا ولكن طريقة الملاحظة تلك غير مناسبة لاسباب عدة منها ان المجهر الالكتروني يتطلب ان تكون العينات المراد ملاحظتها على شكل شرائح رقيقة جدا مما يجعل هذه التقنية غير ممكنة للابحاث العلمية ، كما ان الآثار المستترة ليست مستقرة تماما عند ملاحظتها بالمجهر الالكتروني النافذ⁹⁹ ولذلك استخدمت تقنية القشط الكيميائي (Chemical Etching Tech) على نطاق واسع لتكبير الآثار المستترة حيث يمكن عندئذ ملاحظتها تحت المجهر الضوئي (Optical Microscope) لان حجمها يكون قد كبر بمقدار 10^8 مرة بقدر حجمها الاصلي¹⁰⁰ ، تستخدم في هذه التقنية محاليل كيميائية تسمى بالقواشط (Etchants) تعمل على تحلل مناطق الضرر في الكاشف بمعدل أكثر بكثير من المناطق التي لم تتعرض للضرر ، أي ان المناطق غير المتضررة تتفاعل مع المحلول القاشط بسرعة اقل من المناطق المتضررة . والشكل (2 - 9) يبين تأثير محلول القشط على منطقة متضررة¹⁰¹

تختلف المحاليل الكيميائية المستخدمة في عملية القشط باختلاف نوع الكاشف من حيث كونه عضوي أو غير عضوي . ففي الكواشف العضوية غالبا ما تستخدم هيدروكسيدات فلزات المعادن القلوية^{72, 76, 102} مثل هيدروكسيد الصوديوم (NaOH) وهيدروكسيد الليثيوم (LiOH) وهيدروكسيد البوتاسيوم اما في الكواشف غير العضوية فغالبا ما تستخدم محاليل حامضية مثل المحلول المائي لحمض الهيدروفلوريك HF^{72, 76} .

تتأثر عملية القشط الكيميائي بعدد من العوامل أهمها ¹⁰³ :

- ١- نوع وتركيب المحلول القاشط .
- ٢- تركيز المحلول القاشط .
- ٣- درجة حرارة المحلول القاشط .
- ٤- زمن القشط .



شكل (2 - 9) يبين تأثير محلول القشط على منطقة متضررة ¹⁰⁴

(2 - 14) هندسة الأثر Track Geometry

هناك العديد من العوامل التي تؤثر على الشكل الهندسي للأثر المقشوط فإنه ولكي تظهر الآثار يجب أن يكون معدل القشط على طول الأثر V_T أكبر من معدل قشط سطح الكاشف V_B هذا بالنسبة للسقوط العمودي . أما عند السقوط المائل كذلك يجب أن تكون المركبة العمودية لـ V_T أكبر من V_B . ويبين الشكل (2 - 10) هندسة الأثر المقشوط لجسيمة ساقطة عمودياً على سطح الكاشف بافتراض ثبوت V_T وتناظر معدل قشط السطح V_B ¹⁰⁴ .

ومن الشكل يمكن تحديد ثلاث من العوامل المتعلقة بـ V_T و V_B وهي طول الأثر المقشوط والذي يعطى بالعلاقة :-

$$L = (V_T - V_B) \cdot t \quad \dots (2 - 29)$$

وكذلك قطر الأثر والذي يعطى بالعلاقة

$$D = 2V_B t (V_T - V_B / V_T + V_B)^{1/2} \quad \dots (2 - 30)$$

اما العامل الثالث فهو سمك الطبقة المزالة وتعطى بالعلاقة :

$$h = V_B \cdot t \quad \dots (2 - 31)$$

حيث $t =$ هو زمن القشط ، فإذا كانت $V_B = V_T$ فإن $L = D = 0$ ويبين الشكل (2 - 11) هندسة أثر مقشوط لجسيمة ساقطة بزواوية مائلة قدرها (Φ) ومن اجل ظهور الأثر في هذه الحالة فإنه يجب ان تكون المركبة العمودية لـ V_T اكبر من معدل القشط لسطح الكاشف V_B أي ان

$$V_T \sin \Phi > V_B \rightarrow \sin \Phi > V_B / V_T \quad \dots (2 - 32)$$

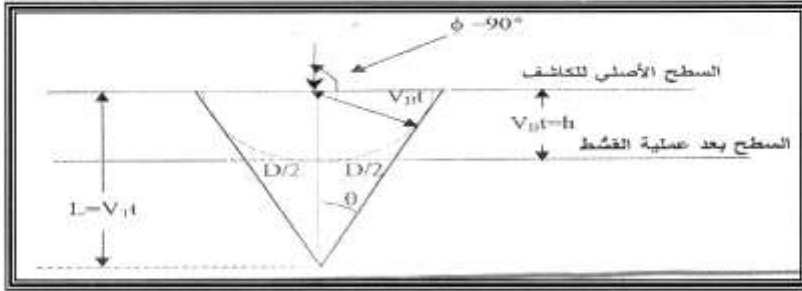
ويتضح من ذلك بان هناك زاوية حرجة للتسجيل ولا يمكن تسجيل الأثر القابل للقشط دونها . وبهذا يظهر عامل جديد ومهم وهو الزاوية الحرجة للكاشف (θ_C) فإذا كانت زاوية سقوط الجسيمة (Φ) اقل من الزاوية الحرجة فلا يمكن إظهار الأثر بعملية القشط عندئذ كما هو موضع في الشكل (2 - 12) والعلاقة الآتية تبين الزاوية الحرجة

$$\theta_C = \arcsin V_B / V_T \quad \dots (2 - 33)$$

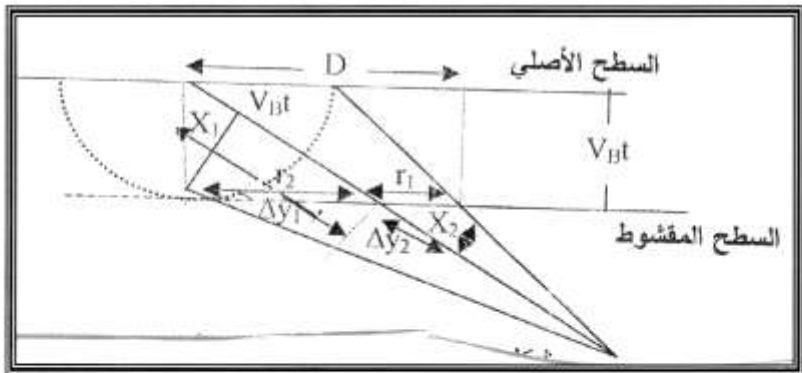
ويستفاد من العوامل السابقة وبالتالي من هندسة الأثر في معرفة هوية الجسيمات وكذلك طاقاتها ، إذ ان معظم الدراسات التي أجريت على كواشف الأثر تعتمد على هندسة الأثر فقد وجد بان الشكل الهندسي للأثر المقشوط يعتمد بصورة مباشرة على طاقة الجسيم ووزنه الذري وشحنته ^{105, 106, 107} وأول من نشر تقرير حول اعتماد قطر الأثر على طاقة الجسيم ونوعه الباحث (Somogyi 1973) ¹⁰⁶ وقد أوضح فيه إمكانية استخدام كواشف الأثر للحالة الصلبة للتعرف على نواتج التفاعلات النووية من خلال هندسة الأثر المقشوط . فعلى سبيل المثال فإنه يمكن تمييز اثار شظايا الأنشطار عن اثار جسيمات الفا من خلال الشكل الهندسي لكل منهما إذ ان V_T لاثار شظايا الأنشطار اكبر بكثير من V_B أي ان النسبة (V_T / V_B) ¹⁰³ عالية جدا وليست كذلك بالنسبة لجسيمات الفا لهذا فان اثار شظايا الأنشطار تظهر بسرعة وبوضوح عالي ويسبق ظهور اثار جسيمات الفا وكذلك يمكن التمييز بينها من خلال الفرق الكبير في قطر الأثره ، إذ

إن آثار السقوط العمودي لشظايا الإنشطار ذات قطر كبير جداً مقارنةً بقطر جسيمات ألفا¹⁰⁸.

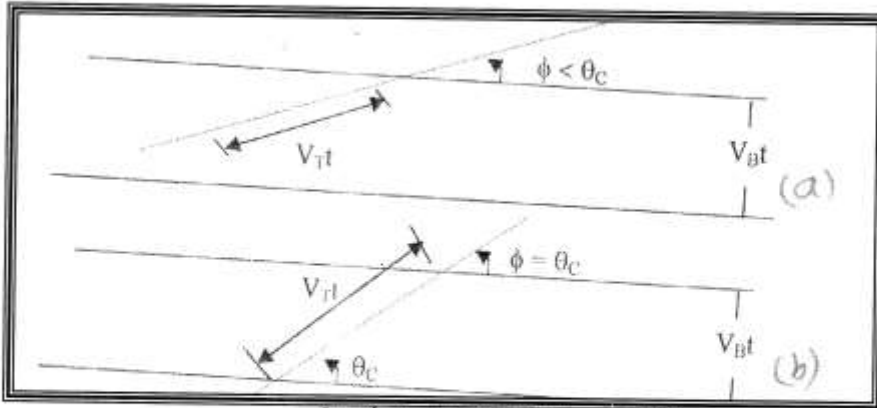
أما إذا كان السقوط غير عمودي فإن شظايا الأنشطار تكون على شكل إبري (needle-like) وتكون جسيمات ألفا بيضوية قصيرة¹⁰⁸.



شكل (2 - 10) يوضح الشكل الهندسي لأثر السقوط العمودي¹⁰⁸



شكل (2 - 11) يوضح هندسة الأثر للسقوط المائل¹⁰⁸



شکل (2-12) يوضح السقوط المائل

a - بزواوية اقل من الزواوية الحرجة . b - بزواوية مساوية للزواوية الحرجة .

2 - 15 مراحل نمو الأثر Stages Of Track Evolution

في حالة السقوط العمودي للجسيمات تكون فتحة الأثر المحفور دائرية على العموم بينما يمر الأثر المحفور بثلاث اطوار على امتداد فترة حفرة في حالة السقوط المائل وكما مبين في الشكل (2 - 13)¹⁰⁹:

1- الطور المخروطي (Conical Phase) :

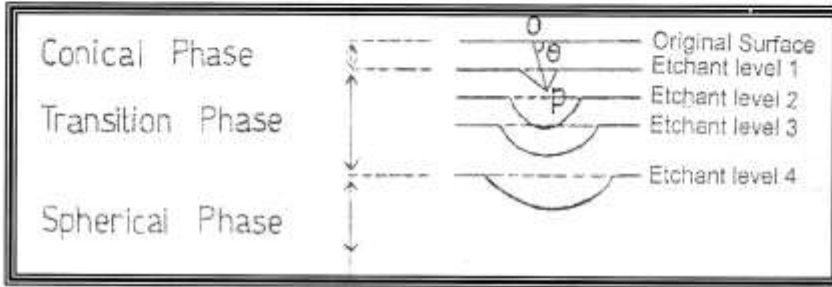
يستمر هذا الطور بينما ينزل المحلول الحافر من السطح الأصلي إلى المستوى (1) حتى يصل إلى النقطة (P) أي نهاية مدى الجسيم ، وخلالها يبقى الأثر المحفور مخروطيا وتكون فتحة السطح بيضوية .

2- الطور الأنتقالي (Transition Phase) :

وهنا يبدأ قعر الأثر المحفور بالتحول إلى الشكل الكروي حيث تكون سوعة الحفر في كل الاتجاهات هي (V_B) ، ففي الوقت الذي ينزل فيه محلول الحفر من المستوى (1) إلى المستوى (2) يصبح قعر الحفر أكثر استدارة الا ان فتحته لا تزال بيضوية . خلال تقدم المحلول الحافر من المستوى (2) إلى المستوى (3) تصبح فتحة الأثر دائرية جزئيا وبيضوية نوعا ما بينما يأخذ الأثر شكلا كرويا أكثر فأكثر .

٣- الطور الكروي (Spherical Phase) :

عندما يصل المحلول الحاضر إلى المستوى (4) يصبح الأثر (ويبقى هكذا للأبد) كروي تماما كما أصبح فتحته (وتبقى هكذا أيضا) دائرية تماما .



الشكل (2 - 13) مراحل نمو الأثر بزيادة زمن الحفر ¹⁰⁹ .

2 - 16 كفاءة الكاشف لتسجيل الأثر : η Efficiency

تعرف كفاءة القشط بأنها النسبية بين عدد الأثار المقشوفة وعدد الجسيمات الساقطة ⁷² ، وتتأثر كفاءة القشط بسرعة القشط العام على السطح V_B وسرعة القشط على طول الأثر V_T لذلك فإن ¹¹⁰ :-

$$\eta = 1 - (V_B / V_T)$$

$$\sin \theta_c = V_B / V_T$$

$$\eta = 1 - \sin \theta_c$$

أن الكواشف العضوية تمتلك كفاءة عالية للتسجيل تتراوح بين (85% ... 95%) .

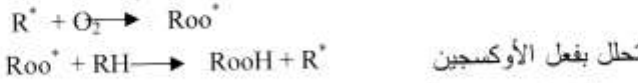
بينما الكواشف الغير عضوية فتتراوح قيمة الكفاءة بين (40% ... 60%) ¹¹¹ .

2 - 17 التأثيرات البيئية على القشط للأشعةEnvironmental Effects on the Track Etchingأولاً :- تأثير الأوكسجين :- **Oxygen Effects**

يتحد الأوكسجين مع الأيونات والجذور الحرة مانعاً إعادة اتحادها وحسب التفاعل المبين أدناه^{112, 113}



اتحاد الأوكسجين بمجموعة البوليمر المنار (الجذور الحرة)



من التفاعل نجد ان الأوكسجين يزيد من معدل إنتاج الجذور الحرة لذلك فهو يزيد من حساسية كاشف الأثر العضوي^{111, 114}.

ثانياً :- **تأثير الأشعة فوق البنفسجية U . V . Ultraviolet Radiation Effect**

ان تأثيرات الأشعة (U . V) على الكواشف العضوية وغير العضوية وخاصة في حالة الجرعة العالية وبوجود الهواء سواء كان ذلك قبل أو بعد التشعيع حيث يعمل على زيادة حساسية الكاشف وزيادة معدل القشط على طول الأثر^{115, 116}.

ثالثاً :- **تأثير الأشعة المؤينة : Ionizing Radiation Effect**

إن تعرض كواشف الأثر النووي لجرعات عالية من البروتونات أو الألكترونات أو أشعة كاما قبل أو بعد تعرضها للإشعاع يؤدي إلى حدوث نقصان في حساسية الكاشف كما وجد ان معدلات القشط V_T, V_B تزداد ولكن V_B تزداد بمعدل أعلى من V_T ^{115, 116}.

رابعاً :- **تأثير الحرارة : Heating Effect**

عند تعرض كواشف الأثر النووية إلى درجات حرارة عالية سواء كان ذلك قبل أو بعد التشعيع يعمل على تغيير خصائص الكاشف حيث يؤدي إلى نقصان حساسية الكاشف^{117, 118}.

خامسا :- **تأثير ظروف القشط : Etching Conditions Effect**

أ :- **تأثير درجة الحرارة : Heating Degree Effect**

نجد ان V_T, V_B تزداد بزيادة درجة الحرارة لمحلول القشط عند

تركيز ثابت لمحلول القشط حسب علاقة Arrhenius^{119, 120}

$V_X = A \exp(-E_X / K_T)$ - سرعة القشط على سطح الكاشف

V_B أو سرعة القشط على طول الأثر V_T .

A - ثابت يعتمد على نوع المادة .

E_X - طاقة التنشيط لمعدل القشط العام لسطح الكاشف (E_B) أو

معدل القشط على طول الأثر (E_T) .

T - درجة الحرارة المطلقة .

K - ثابت بولتزمان

ب- **تأثير تركيز المحلول : Liquid Concentration Effect**

وجد ان معدلي القشط سطح الكاشف V_B ، وطول الأثر V_T تتأثر

بتغير تركيز المحلول القاشط وحسب العلاقة^{119, 121}

$V_X = F_X C^n \exp(-E_X / K_T)$

F_X - ثابت يعتمد على نوع المادة .

C - تركيز المحلول القاشط .

n - اس التركيز .

كما نجد من الضروري التذكير بمراعاة تجديد المحلول بين الحين والآخر ويرجع

السبب في ذلك إلى زيادة تركيز المحلول باستمرار بعملية القشط الأمر الذي يؤدي

إلى زيادة قيم معدلات القشط¹²² كما يفضل تحريك المحلول بين فترة وأخرى

أثناء عملية القشط للتخلص من تراكبات عملية القشط على سطح الكاشف وبالتالي

استمرار عملية القشط بكفاءة عالية⁹² .